

## Секция 3

## МАТЕМАТИЧЕСКИЕ МЕТОДЫ КРИПТОГРАФИИ

УДК 519.7

DOI 10.17223/2226308X/15/11

РАЗРАБОТКА И СРАВНЕНИЕ МОДЕЛЕЙ КВАНТОВОГО ОРАКУЛА  
ДЛЯ ГИБРИДНОЙ АТАКИ НА ПОСТКВАНТОВЫЕ  
КРИПТОСИСТЕМЫ, ОСНОВАННЫЕ НА РЕШЁТКАХ<sup>1</sup>

А. О. Бахарев

Для предложенной ранее модели квантового оракула, используемого в гибридном квантово-классическом алгоритме решения задачи нахождения кратчайшего вектора в решётке, получены новые уточнённые оценки числа кубит и глубины схемы. Разработана и проанализирована новая модель квантового оракула, использующая классическую память для хранения списка векторов. Получены верхние оценки сложности реализации атаки на постквантовые криптосистемы, являющиеся финалистами конкурса NIST.

**Ключевые слова:** квантовый поиск, криптография с открытым ключом, постквантовая криптография.

## 1. Основные понятия и определения

С каждым годом квантовые вычисления развиваются с большей силой. Поэтому возникает необходимость в разработке и анализе криптосистем, которые будут устойчивы к атакам с использованием квантового компьютера. Стойкость многих известных постквантовых криптосистем, основанных на решётках, зависит от сложности решения задачи нахождения кратчайшего вектора в решётке.

В 2016 г. Национальный институт стандартов и технологий США (NIST) объявил конкурс «Post-Quantum Cryptography Competition», по завершении которого будет принят новый — квантово-устойчивый — стандарт асимметричного шифрования. И 22 июля 2020 г. начался третий этап конкурса, финалистами которого являются криптосистемы, основанные на теории решёток и кодах, исправляющих ошибки.

В данной работе рассмотрен подход на основе решёток.

**Определение 1.** Пусть  $u_1, \dots, u_d \in \mathbb{R}^n$  — линейно независимые векторы и  $d \leq n$ . Решёткой размерности  $d$  называется множество

$$\Lambda = \left\{ \sum_{i=1}^d b_i u_i : b_i \in \mathbb{Z} \right\}.$$

Линейно независимая система векторов, порождающая решётку, называется *базисом решётки*.

**Определение 2.** Задача нахождения кратчайшего вектора (SVP) — найти в заданной своим базисом решётке ненулевой вектор, имеющий наименьшую длину.

<sup>1</sup>Работа выполнена при поддержке Математического центра в Академгородке, соглашение с Министерством науки и высшего образования РФ №075-15-2022-281.

В общем случае SVP является NP-трудной задачей. Стойкость систем, основанных на решётках, зависит от эффективности решения SVP, так как большинство известных атак сводятся к решению этой проблемы.

В 2015 г. опубликована работа [1], в которой представлен гибридный подход к поиску кратчайшего вектора решётки на основе алгоритма GaussSieve [2] (алгоритм 1) — одного из самых эффективных классических алгоритмов.

---

### Алгоритм 1. Алгоритм GaussSieve (D. Micciancio and P. Voulgaris, 2010)

---

**Вход:**  $B$  — базис решётки.

**Выход:**  $v$  — кратчайший вектор решётки.

- 1: Инициализировать пустой неупорядоченный список  $L$  и пустой стек  $S$ .
  - 2: **Повторять**
  - 3:   получить вектор  $v$  из стека (или сгенерировать новый).
  - 4:   **Пока**  $w \leftarrow \text{ПОИСК}\{w \in L : \|v \pm w\| \leq \|v\|\}$
  - 5:     уменьшить  $v$  с помощью  $w$  ( $v \leftarrow v \pm w$ ).
  - 6:   **Пока**  $w \leftarrow \text{ПОИСК}\{w \in L : \|w \pm v\| \leq \|w\|\}$
  - 7:     удалить  $w$  из листа  $L$ ;
  - 8:     уменьшить  $w$  с помощью  $v$  ( $w \leftarrow w \pm v$ );
  - 9:     добавить  $w$  в стек  $S$ .
  - 10: **Если**  $v$  изменился, **то**
  - 11:   добавить  $v$  в стек  $S$ ,
  - 12: **иначе**
  - 13:   добавить  $v$  в лист  $L$ .
  - 14: **Пока**  $v$  не станет кратчайшим вектором.
  - 15: **Вернуть** вектор  $v$ .
- 

Так как длина неупорядоченного списка  $L$  целочисленных векторов фиксированной размерности из алгоритма GaussSieve увеличивается экспоненциально с ростом размерности решётки, самой трудозатратной операцией данного алгоритма является функция «ПОИСК», которая осуществляет перебор неупорядоченного списка  $L$  для нахождения элемента  $w$ , удовлетворяющего условию поиска:  $\|v \pm w\| \leq \|v\|$  или  $\|w \pm v\| \leq \|w\|$ . В рамках предложенного в [1] подхода ускорение достигается за счёт использования в функции «ПОИСК» квантового алгоритма поиска. Задача, решаемая этим алгоритмом, называется *задачей поиска*. Предполагается, что есть неупорядоченный список из  $K$  элементов, и требуется найти один элемент, удовлетворяющий некоторому условию. Другими словами, определена булева функция  $f$ , которая по номеру элемента (его двоичному представлению  $x$ ) определяет, является ли элемент подходящим. Если элемент подходящий, то  $f(x) = 1$ , иначе  $f(x) = 0$ . В такой постановке задача поиска сводится к нахождению решения уравнения  $f(x) = 1$ .

В классическом варианте при условии, что решение одно, требуется  $\sim K/2$  обращений к функции  $f$  для нахождения решения. Квантовый алгоритм поиска элемента в неупорядоченном списке (алгоритм Гровера [3]) решает данную задачу за  $\sim \frac{\pi}{4}\sqrt{K}$  обращений к *оракулу* — квантовому аналогу функции  $f$ . Известно, что любая булева функция может быть реализована на квантовом компьютере.

## 2. Квантовые вычисления

Квантовый компьютер, в отличие от обычного, оперирует *квантовыми битами* (кубитами) [4]. Подобно классическому биту, который может находиться в состоянии 0 или 1, кубит имеет возможные состояния  $|0\rangle$  и  $|1\rangle$ . Символ « $| \rangle$ » называется *дираковским обозначением*, он является стандартным обозначением состояния в квантовой механике. Различие между битами и кубитами в том, что кубит может находиться в состоянии, отличном от  $|0\rangle$  или  $|1\rangle$ . Можно составить линейную комбинацию состояний (суперпозицию):

$$|\varphi\rangle = \alpha|0\rangle + \beta|1\rangle.$$

Числа  $\alpha$  и  $\beta$  являются комплексными и  $|\alpha|^2 + |\beta|^2 = 1$ . Иначе говоря, состояние одного кубита можно представить как единичный вектор из  $\mathbb{C}^2$ . Однако мы не можем измерить кубит, чтобы определить его квантовое состояние, т.е. значения  $\alpha$  и  $\beta$ . Из квантовой механики следует, что при измерении кубита мы получаем либо результат 0 с вероятностью  $|\alpha|^2$ , либо результат 1 с вероятностью  $|\beta|^2$ . Систему с произвольным количеством кубит описывает следующий

**Постулат 1.** С каждой изолированной физической системой связывается комплексное векторное пространство со скалярным произведением, которое называется *пространством состояний* системы. Система полностью описывается *вектором состояния*, который представляет собой единичный вектор в пространстве состояний системы.

Изменения со временем состояния  $|\psi\rangle$  квантово-механической системы описываются следующим постулатом.

**Постулат 2.** Эволюция замкнутой квантовой системы описывается унитарным преобразованием. Другими словами, состояние  $|\psi\rangle$  системы в момент времени  $t_1$  связано с её состоянием  $|\psi'\rangle$  в момент времени  $t_2$  посредством унитарного оператора  $U$ , зависящего только от моментов времени  $t_1$  и  $t_2$ :  $|\psi'\rangle = U|\psi\rangle$ .

Пусть  $|\psi\rangle = |x_1, x_2, \dots, x_k\rangle$  и  $|\psi'\rangle = |y_1, y_2, \dots, y_k\rangle$ . Равенство  $|\psi'\rangle = U|\psi\rangle$  в обозначениях квантовых схем представлено на рис. 1.

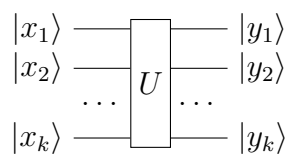


Рис. 1. Квантовая схема равенства  $|\psi'\rangle = U|\psi\rangle$

Базовое преобразование квантового компьютера будем называть *вентилем*. В настоящей работе для построения всех операций и функций на квантовом компьютере используются базисные вентили, представленные на рис. 2 ( $x, y, z \in \mathbb{F}_2$ ).

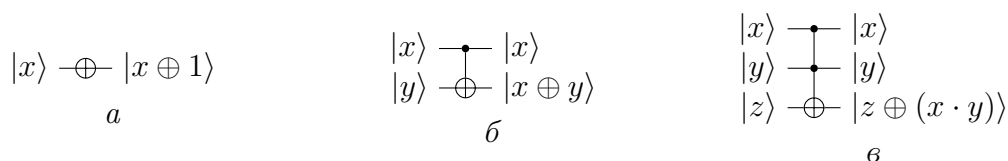


Рис. 2. Используемые вентили: *a* — вентиль Паули-X (NOT); *б* — вентиль CNOT; *в* — вентиль Тоффоли (CCNOT)

Определим *глубину квантовой схемы* [4] как количество слоёв, которые содержит схема. Один слой состоит из базисных вентилях, применённых к непересекающимся множествам кубит.

### 3. Модель оракула с квантовым списком

Рассмотрим предложенную в [5] модель оракула, при которой список  $L$  хранится в квантовой памяти. Работа модели происходит следующим образом:

- 1) получение номера вектора на вход и передача его в переключатель;
- 2) выбор вектора из списка по выходу переключателя и копирование его;
- 3) проверка скопированного вектора на условие поиска;
- 4) вывод ответа: 1 — если вектор удовлетворяет условию, 0 — если нет.

В данной работе для построения квантового оракула рассматривается подход, минимизирующий количество кубит. *Постоянными* будем называть те кубиты, которые используются на протяжении всей работы оракула, а *временными* — те, которые нужны только во время проведения операции. В табл. 1 приведены количество кубит и глубина схемы в реализации операций, используемых в построении оракула.

Таблица 1

**Количество кубит и глубина схемы, используемые в предложенной реализации, без учёта длины входа**

Операция	Кубиты		Глубина
	постоянные	временные	
Сложение двух целых $m$ -битных чисел, представленных в дополнительном коде	$m + 1$	—	$3m$
Возведение в квадрат целого $m$ -битного числа, представленного в прямом коде	$2m - 2$	$m^2 - 2m$	$10m^2 - 33m + 22$
Переключатель, где номер вектора представляется целым $m$ -битным числом	$2^m$	—	$3^m - 1$
Получение отрицания целого $m$ -битного числа, представленного в дополнительном коде	$m$	—	$m + 2$
Перевод целого $m$ -битного числа из дополнительного кода в прямой	$m$	$m - 2$	$2\lceil \log_2(m - 1) \rceil + m + 2$
Сравнение двух целых положительных $m$ -битных чисел	1	$m + 1$	$7m$
Функция $F : \mathbb{F}_2^n \rightarrow \mathbb{F}_2^m$	$m$	$n + \left\lceil \frac{m}{4} \right\rceil - 3$	$2^{n+1} - 2n + \lceil \log_2 m \rceil (2^{n+1} - 3) - 3$

С помощью данных, представленных в табл. 1, получается следующая

**Теорема 1.** Пусть имеется список длины  $K$ , состоящий из целочисленных векторов размерности  $d \geq 2$ , каждая координата которых кодируется битовой строкой длины  $m \geq 3$ . Тогда для реализации квантового оракула, при котором список  $L$  хранится в квантовой памяти, потребуется не более

$$\lceil \log_2 K \rceil + 2^{\lceil \log_2 K \rceil} + Kdm + 3dm^2 + 13dm + 2d + 6m + 3\lceil \log_2 d \rceil + 3$$

кубит. При этом глубина не превосходит

$$2 \cdot 3^{\lceil \log_2 K \rceil} + 2K(2\lceil \log_2 dm \rceil + 1) + 20m^2 + 4\lceil \log_2 m \rceil + \\ + \lceil \log_2 d \rceil (3\lceil \log_2 d \rceil + 12m + 5) + 21.$$

Как видно из теоремы 1, хранение списка  $L$  в квантовой памяти приводит к линейному росту используемого числа кубит от длины  $K$ , которая растёт экспоненциально с увеличением размерности решётки.

#### 4. Модель оракула с классическим списком

Рассмотрим другую модель оракула, при которой список  $L$  хранится в классической памяти. Работа модели происходит следующим образом:

- 1) получение номера вектора на вход и передача его в функцию  $F$ ;
- 2) получение в качестве выхода функции  $F$  вектора из списка  $L$ , соответствующего заданному номеру;
- 3) проверка скопированного вектора на условие поиска;
- 4) вывод ответа: 1 — если вектор удовлетворяет условию, 0 — если нет.

Данная модель помогает избежать линейного роста количества кубит, используемых оракулом, от увеличения размера списка  $L$ . Однако хранение списка  $L$  и построение векторной булевой функции  $F$  потребуют на стороне классической части памяти и вычислений, которые линейно зависят от длины списка  $L$ .

**Теорема 2.** Пусть имеется список длины  $K$ , состоящий из целочисленных векторов размерности  $d \geq 2$ , каждая координата которых кодируется битовой строкой длины  $m \geq 3$ . Тогда для реализации квантового оракула, при котором неупорядоченный список  $L$  хранится в классической памяти, потребуется не более

$$\lceil \log_2 K \rceil + 13dm + 5d + 6m + 3\lceil \log_2 d \rceil + 3 + \max \left( 3d(m^2 - 1), \lceil \log_2 K \rceil + \left\lceil \frac{dm}{4} \right\rceil - 3 \right)$$

кубит. При этом глубина не превосходит

$$2^{\lceil \log_2 K \rceil + 2} - 4\lceil \log_2 K \rceil + \lceil \log_2 dm \rceil (2^{\lceil \log_2 K \rceil + 2} - 6) + 20m^2 + \\ + \lceil \log_2 d \rceil (3\lceil \log_2 d \rceil + 12m + 5) + 4\lceil \log_2 m \rceil + 17.$$

Как видно из теоремы 2, число кубит, используемое для реализации квантового оракула с классическим списком, растёт логарифмически от длины списка  $L$ .

#### 5. Связь числа кубит и глубины схемы квантового оракула с параметрами криптосистем

В табл. 2 приведены количество кубит и глубина схемы, достаточные для реализации квантовых оракулов с различными видами списка при атаке на постквантовые криптосистемы.

NTRU [6], SABER [7] и CRYSTALS-Kyber [8] являются постквантовыми криптосистемами, основанными на решётках и прошедшими в финальный раунд конкурса NIST. Как видно из табл. 2, экспоненциальная длина списка  $L$  накладывает ограничения на возможность реализации гибридных атак на полноразмерные постквантовые криптосистемы. Однако стоит заметить, что для атак на NTRU используются циклические решётки, исследование которых может помочь уменьшить длину списка  $L$ , что приведёт к меньшим верхним оценкам на сложность реализации квантового оракула.

Т а б л и ц а 2

Вид списка	Уровень защищ.	NTRU		SABER		CRYSTALS-Kyber	
		Кубиты	Глубина	Кубиты	Глубина	Кубиты	Глубина
Квантовый	1	$2^{227,48}$	$2^{340,19}$	$2^{228,95}$	$2^{343,36}$	$2^{228,85}$	$2^{343,36}$
	3	$2^{298,45}$	$2^{452,72}$	$2^{337,06}$	$2^{512,95}$	$2^{336,96}$	$2^{512,95}$
	5	$2^{359,31}$	$2^{547,82}$	$2^{444,99}$	$2^{684,12}$	$2^{444,89}$	$2^{684,12}$
Классический	1	$2^{19,4}$	$2^{219,91}$	$2^{19,77}$	$2^{221,91}$	$2^{19,6}$	$2^{221,91}$
	3	$2^{19,81}$	$2^{291}$	$2^{20,36}$	$2^{329}$	$2^{20,18}$	$2^{329}$
	5	$2^{20,28}$	$2^{351}$	$2^{20,77}$	$2^{437}$	$2^{20,6}$	$2^{437}$

### З а к л ю ч е н и е

Получены новые уточнённые верхние оценки на сложность реализации квантового оракула, использующего квантовый список  $L$ , из алгоритма Гровера для реализации гибридного квантово-классического алгоритма на основе GaussSieve, который может быть использован для атак на криптосистемы, стойкость которых зависит от решения задачи SVP. Предложена новая модель оракула с классическим списком  $L$ , на сложность реализации которой также получены верхние оценки. Проанализирована сложность реализации рассмотренных моделей оракула для атаки на постквантовые криптосистемы, основанные на решётках и являющиеся финалистами конкурса NIST.

### Л И Т Е Р А Т У Р А

1. *Laarhoven T., Mosca M., and van de Pol J.* Finding shortest lattice vectors faster using quantum search // Des. Codes Cryptogr. 2015. V. 77. No. 2. P. 375–400.
2. *Micciancio D. and Voulgaris P.* Faster exponential time algorithms for the shortest vector problem // Proc. 21 Ann. ACM-SIAM Symp. Discrete Algorithms. Society for Industrial and Applied Mathematics, USA, 2010. P. 1468–1480.
3. *Grover L. K.* A fast quantum mechanical algorithm for database search // Proc. 28 Ann. ACM Symp. Theory of Computing. N.Y.: ACM, 1996. P. 212–219.
4. *Nielsen M. A. and Chuang I. L.* Quantum Computation and Quantum Information. Cambridge: Cambridge University Press, 2010.
5. *Бахарев А. О.* Разработка и анализ оракула для гибридной атаки на криптографическую систему NTRU с использованием алгоритма квантового поиска // Прикладная дискретная математика. Приложение. 2021. № 14. С. 62–67.
6. *Chen C., Danba O., Hoffstein J., et al.* NTRU Algorithm Specifications and Supporting Documentation. <https://ntru.org/f/ntru-20190330.pdf>.
7. *D’Anvers J.-P., Karmakar A., Roy S. S., and Vercauteren F.* SABER: Mod-LWR based KEM. <https://www.esat.kuleuven.be/cosic/pqcrypto/saber/files/saberspecround1.pdf>.
8. *Avanzi R., Bos J., Ducas L., et al.* CRYSTALS-Kyber Algorithm Specifications and Supporting Documentation. <https://cryptojedi.org/papers/kybernist-20171130.pdf>.